المقدمة

سنتناول في هذا الفصل مقارنة مختلف النماذج المستخدمة في تفسير الحرارة النوعية للمادة الصلبة ومدى اتفاق التفسير النظري مع التجارب العملية عند استخدام المفاهيم الكمية واخذ الطبيعة المتفردة للشبيكة في الاعتبار. وأخيرا سنتطرق إلى ميكانيكية التوصيل الحراري في الشبيكة.

الحرارة النوعية للشبكية Specific Heat of Lattice

تعرف الحرارة النوعية Specific Heat غالبا ما نستعمل مصطلح السعة الحرارية Heat capacity بأنها السعة الحرارية بدلا من الحرارة النوعية . ان الاسهام المسيطر للحرارة النوعية في معظم المواد الصلبة يكون من طاقة الفونون ، أي الطاقة المعطاة لاهتزازات الشبيكة . وبالنسبة للعوازل غير المغناطيسية تكون طاقة الفونون هي الاسهام الوحيد اما بالنسبة للمواد الصلبة المغناطيسية فهنالك اسهام اضافي مصدره الانتظام المغناطيسي وفي المعادن هنالك اسهام اضافي رغم صغره ومصدره الكترونات التوصيل وسنهتم في مناقشتنا بالحرارة النوعية للمواد الصلبة التي مصدرها اهتزازات الشبيكة التوافقية فقط . ان تاثير الاظطراب (عدم التوافقية في اهتزازات الشبيكة) على السعة الحرارية صغير جدا ويمكن اهماله .

لو جهزنا طاقة خارجية dQ الى غرام مولي من مادة صلبة . واذا ادت هذه الطاقة المسلطة الى زيادة الطاقة الداخلية بمقدار dE ونتيجة لذلك از دادت درجة الحرارة بمقدار dT فستكون الحرارة النوعية لتلك المادة الصلبة :

$$C = \frac{dQ}{dT} = \frac{dE}{dT} \tag{1}$$

ويبقى التعريف اعلاه ناقصا حتى تحديد الطريقة التي تم فيها تجهيز الطاقة الخارجية للمادة الصلبة. من بين العديد من الحرارة النوعية هنالك فقط اثنتين ذات اهتمام عام وهما الحرارة النوعية بثبات الحجم C_V والحرارة النوعية بثبات الضغط C_P و العلاقة التي تربط بين C_V و C_P هي :

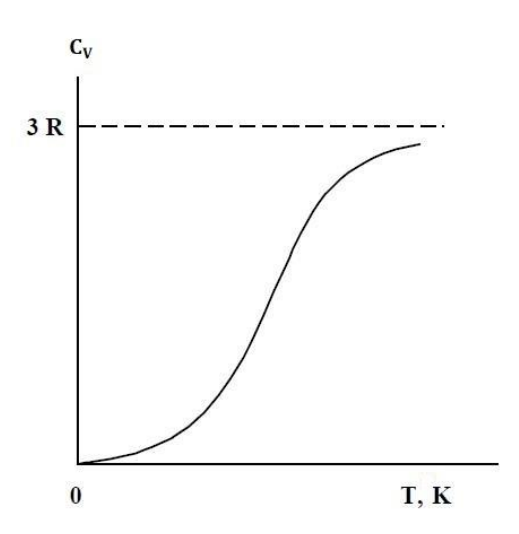
$$C_P - C_V = 9\delta^2 BVT \tag{2}$$

اذ ان δ تمثل المعامل الحراري للتمدد الخطي وان B تمثل المعامل الحجمي . يكون الفرق عادة صغير خصوصا تحت درجة حرارة الغرفة وغالبا ما يتم اهماله . وبدقة اكبر فان الحرارة النوعية للمواد الصلبة تعني الحرارة النوعية بثبات الحجم وتعرف بالعلاقة :

$$C_V = \left(\frac{\partial E}{\partial T}\right)_V \tag{3}$$

وبابقاء المحددات المذكورة اعلاه امامنا يمكننا ان نفرض في حساباتنا ان الطاقة المجهزة للمادة الصلبة تستعمل في زيادة الطاقة الداخلية . وان الحرارة النوعية بثبات الحجم C_V التي نحصل عليها مباشرة من الطاقة الداخلية للنظام تكون ذات اهمية نظريا واساسية .

يوضح الشكل (1) السلوك العام الى مقابل درجة الحرارة ونلاحظ النقاط المهمة التالية من هذا المخطط يوضح



شكل (1) إعتماد الحرارة النوعية للمادة الصلبة على درجة الحرارة

- $3N_AK_B$ المقدار المواد الصلبة احادية الذرة تقريبا نفسها وتمثلك المقدار $3N_AK_B$) عند مدى درجة حرارة الغرفة ويعرف هذا النص (او 3R او 3R المواد Dulong Petit law) عند مدى درجة حرارة الغرفة . ويعرف هذا النص بقانون دولنك وبيتيت ($3N_AK_B$
- 2. اخفاق قانون دولنك وبتيت بالنسبة للعناصر الخفيفة مثل البورون والبريليوم والكاربون (الماس) وان قيم C_V لهذه العناصر هي 14 و 16 و 6.1 جول مول-1 كلفن-1 عند درجة حرارة الغرفة على التوالي .
- 3. تهبط C_V بسرعة عند درجات الحرارة الواطئة وتقترب من الصفر عند اقتراب درجة الحرارة من الصفر . وفي مدى درجات الحرارة المنخفضة هذه تتبع المواد الصلبة العازلة القانون $C_V \propto T^3$ وتتبع المعادن القانون . $C_V \propto T$ و و اذا اصبح المعدن مفرط التوصيل فان $C_V \propto T$ تهبط اسرع من $C_V \propto T$
- 4. في المواد الصلبة المغناطيسية يكون هناك مقدار كافي من الانتظام المغناطيسي عند درجات الحرارة الواطئة جدا ، خصوصا تحت 0.1 كلفن وهذا يعطيها سعة حرارية كبيرة جدا .

النظرية الكلاسيكية (قانون دولنك وبتيت) (Classical theory (Dulong & Petit law

equipartition وبسطة: يمكن اشتقاق قانون دولنك وبيتيت مباشرة من قانون التجزئة المتساوية للطاقة يمكن اشتقاق قانون دولنك وبيتيت مباشرة من قانون الحرية والمساوية المتساوية القانون يكون متوسط طاقة نظام الجسيمات الحرة هو الحرية والمسيكة تتفاعل مع قوى توافقية تخضع لقانون هوك ستكون لدينا قيمة $\frac{1}{2}K_BT$ لكل درجة حرية لكل من الطاقة الكامنة والطاقة الحركية ، اي سيكون متوسط الطاقة الكلية لنقطة شبيكة هو K_BT لكل درجة حرية . ولما كان هناك عدد افكادر و N_A من الذرات (او نقاط شبيكة) بالنسبة لغرام واحد من مادة صلبة وكل منها يمتلك ثلاث درجات من الحرية (أي يمكنها التذبذب عبر الاحداثيات الكارتيزية الثلاث) لذلك ستكون الطاقة الكلية للنظام هي :

$$E = 3N_A K_B T$$

$$C_V = \left(\frac{\partial E}{\partial T}\right)_V = 3N_A K_B = 3R = 3 \times 8.314 \, Jmol^{-1}K^{-1} = 24.942 \, Jmol^{-1}K^{-1}$$

اذ ان R يمثل ثابت الغاز العام . وهذا هو قانون دولنك وبيتيت .

معالجة اخرى: فرضت النظرية الكلاسيكية ما ياتي

1. ان البلورة ذات عدد N من الذرات عبارة عن نظام ذي N من المذبذبات التوافقية ويمتلك كل منها طاقة تعطى بالعلاقة \cdot

$$E = \frac{1}{2m}p^2 + \frac{1}{2}m\omega^2 x^2 \tag{4}$$

اذ ان p يمثل كمية الزخم الخطى (كمية الحركة الخطية) للذرة المهتزة التي كتلتها m وترددها الطبيعي ω .

- 2. تهتز المذبذبات الذرية بالتردد نفسه ولكن بسعات مختلفة لذلك تكون طاقتها مختلفة .
- 3. يمكن للمذبذب التوافقي ان يستلم قيم متواصلة من الطاقة مباشرة من الصفر حتى اللانهاية.
- 4. يعطى توزيع طاقة المذبذبات عن طريق قانون توزيع ماكسويل بولتزمان \cdot اي ان عدد المذبذبات التي تمتلك $e^{-\frac{E}{K_BT}}$. $e^{-\frac{E}{K_BT}}$ عند درجة حرارة معينة T يتناسب مع عامل بولتزمان $e^{-\frac{E}{K_BT}}$.
 - 5. ان الطاقة الاهتزازية لجميع المذبذبات الذرية هي الطاقة الداخلية الكلية للنظام.

وتبعأ للميكانيك الاحصائى الكلاسيكي يكون متوسط طاقة النظام هو:

$$\bar{E} = \frac{\int_0^\infty E dN}{\int_0^\infty dN} = \frac{\iint_{px} \left(\frac{1}{2m} p^2 + \frac{1}{2} m \omega^2 x^2\right) e^{-\frac{p^2}{2mK_BT}} e^{-\frac{m\omega^2 x^2}{2K_BT}} dp dx}{\iint_{nx} e^{-\frac{p^2}{2mK_BT}} e^{-\frac{m\omega^2 x^2}{2K_BT}} dp dx}$$

ويمكن تبسيط هذه العلاقة بالصورة التالية:

$$\bar{E} = \frac{\int_0^\infty \frac{1}{2m} p^2 e^{-\frac{p^2}{2mK_B T}} dp}{\int_0^\infty e^{-\frac{p^2}{2mK_B T}} dp} + \frac{\int_0^\infty \frac{1}{2} m\omega^2 x^2 e^{-\frac{m\omega^2 x^2}{2K_B T}} dx}{\int_0^\infty e^{-\frac{m\omega^2 x^2}{2K_B T}} dx}$$
(5)

تبين المعادلة (5) بوضوح ان الحد الاول يمثل متوسط الطاقة الحركية وان الحد الثاني يمثل متوسط الطاقة الكامنة ولحل هذه التكاملات سنستخدم التكاملات القياسية التالية :

$$\int_{0}^{\infty} u^{2} e^{-au^{2}} du = \frac{1}{4} \left(\frac{\pi}{a^{3}}\right)^{1/2} , \qquad \int_{0}^{\infty} e^{-au^{2}} du = \frac{1}{2} \left(\frac{\pi}{a}\right)^{1/2}$$

وبذلك تصبح المعادلة (5) كما يلي:

$$\bar{E} = \frac{\frac{1}{2m} \cdot \frac{1}{4} \left[\pi (2mK_B T)^3 \right]^{1/2}}{\frac{1}{2} \left[\pi (2mK_B T)^3 \right]^{1/2}} + \frac{\frac{1}{2} m\omega^2 \cdot \frac{1}{4} \left[\pi \left(\frac{2K_B T}{m\omega^2} \right)^3 \right]^{1/2}}{\frac{1}{2} \left[\pi \left(\frac{2K_B T}{m\omega^2} \right) \right]^{1/2}} = \frac{1}{2} K_B T + \frac{1}{2} K_B T = K_B T \quad (6)$$

فيزياء الحالة الصلبة / المرحلة الرابعة

متوسط الطاقة الكلية لنظام متكون من 3N من المذبذبات سيكون:

$$E = 3\bar{E} = 3NK_BT \tag{7}$$

ولما كانت السعة الحرارية:

$$C_V = \left(\frac{\partial E}{\partial T}\right)_V = 3NK_B$$

فبالنسبة لمول واحد تكون $N = N_A$ وبذلك تكون السعة الحرارية هي :

$$C_V = \left(\frac{\partial E}{\partial T}\right)_V = 3N_A K_B = 3R = 24.942 \, Jmol^{-1} K^{-1}$$

وهذا هو قانون دولنك وبيتيت ونلاحظ التالى:

- 1. لم يظهر التردد ω في المعادلة (ϑ) لذلك تكون طاقة البلورة ومنها سعتها الحرارية لا تعتمد كلاسيكيا على توزيع التردد للمذبذبات وهو نفسه لكل انواع البلورات احادية الذرة .
- 2. رغم ان النظرية الكلاسيكية اثبتت قانون دولنك وبيتيت عند درجة حرارة الغرفة الا انها تعطي سعة حرارية لا تعتمد على درجة الحرارة وبذلك تكون قد اخفقت في الجواب عن لماذا تهبط السعة الحرارية مع T في منطقة درجة الحرارة الواطئة .
- 3. ان هذه التناقضات النظرية يمكن حلها عن طريق استخدام نموذج اينشتاين لشبيكة بلورة يستبدل فيها الميكانيك
 الكلاسيكي بوساطة معالجة الميكانيك الكمي للنظام .

تموذج انیشتاین The Einstein model

ان نموذج اينشتاين لشبيكة البلورة المستعمل لحساب الحرارة النوعية يستند على الافتراضات التالية:

- 1. تسلك البلورة ذات N من الذرات كنظام ذي 3N من المذبذبات التوافقية المكماة .
 - . يهتز المذبذبات المكممة بالتردد نفسه $v=rac{\omega}{2\pi}$ وبشكل مستقل .
 - 3. يمتلك كل مذبذب قيم طاقة منفصلة فقط تعطى بالعلاقة:

$$E_n = \left(n + \frac{1}{2}\right)\hbar\omega\tag{8}$$

اذ ان n يمثل عدد صحيح.

- 4. تكون المذبذبات مميزة لان مواضعها تكون عند مواضع شبيكة واضحة.
- 5. رغم ان المذبذبات تكون في مستويات مكممة الا انها تتبع قانون التوزيع الكلاسيكي لماكسويل وبولتزمان وبذلك فان هكذا عدد من المذبذبات dN ضمن طاقات بين E+dE عند درجة حرارة T يتناسب مع عامل ولتزمان $e^{-\frac{E}{K_BT}}$.

لذلك يعطى متوسط طاقة المذبذبات في نظام بالعلاقة:

$$\bar{E} = \frac{\sum E dN}{\sum dN} = \frac{\sum_{n=0}^{\infty} E_n e^{-\frac{E_n}{K_B T}}}{\sum_{n=0}^{\infty} e^{-\frac{E_n}{K_B T}}} = \frac{\sum_{n=0}^{\infty} \left(n + \frac{1}{2}\right) \hbar \omega e^{-\left(n + \frac{1}{2}\right) \hbar \omega / K_B T}}{\sum_{n=0}^{\infty} \hbar \omega e^{-\left(n + \frac{1}{2}\right) \hbar \omega / K_B T}}$$

وبجعل $\chi = -\hbar \frac{\omega}{K_B T} = -\frac{h \nu}{K_B T}$ وفك الحدود نحصل على :

$$\begin{split} \bar{E} &= \hbar \omega \frac{\frac{1}{2} e^{x/2} + \frac{3}{2} e^{3x/2} + \frac{5}{2} e^{5x/2} + \dots}{e^{x/2} + e^{3x/2} + e^{5x/2} + \dots} \\ &= \hbar \omega \log \left(e^{x/2} + e^{3x/2} + e^{5x/2} + \dots \right) \\ &= \hbar \omega \frac{d}{dx} \log \left[e^{x/2} (1 + e^x + e^{2x} + \dots) \right] \\ &= \hbar \omega \frac{d}{dx} \left[\frac{x}{2} + \log \left(\frac{1}{1 - e^x} \right) \right] \\ &= \hbar \omega \frac{d}{dx} \left[\frac{x}{2} - \log(1 - e^x) \right] \\ &= \hbar \omega \left[\frac{1}{2} + \frac{e^x}{(1 - e^x)} \right] = \hbar \omega \left[\frac{1}{2} + \frac{1}{(e^{-x} - 1)} \right] \end{split}$$

: يحصل على $\chi = -\hbar \frac{\omega}{K_B T} = -\frac{h \nu}{K_B T}$ نحصل على

$$\bar{E} = \frac{\hbar\omega}{2} + \frac{\hbar\omega}{e^{\hbar\omega/K_BT} - 1} \tag{9}$$

ملاحظة : استعمل اينشتاين نتائج بلانك لقيم الطاقة المنفصلة اي $E_n=n\hbar\omega$. ولكن استعملت هذه المعالجة بعد معرفة نتائج الميكانيك الكمي للمعادلة (ϵ) نتائج الميكانيك الكمي الكمي وهو لا يعتمد على درجة الحرارة ولا يسهم بالسعة الحرارية "المعادلة (ϵ)" .

ان الطاقة الداخلية لنظام مكون من 3N من المذبذبات هي :

$$E = 3N\bar{E} = \frac{3N\hbar\omega}{2} + \frac{3N\hbar\omega}{e^{\hbar\omega/K_BT} - 1}$$
 (10)

ولما كانت السعة الحرارية هي:

$$C_V = \left(\frac{\partial E}{\partial T}\right)_V = 3N\hbar\omega \frac{\partial}{\partial T} \left[\frac{1}{e^{\hbar\omega/K_BT} - 1}\right]$$

فيزياء الحالة الصلبة / المرحلة الرابعة

$$C_V = 3NK_B \left(\frac{\hbar\omega}{K_B T}\right)^2 \frac{e^{\hbar\omega/K_B T}}{(e^{\hbar\omega/K_B T} - 1)^2} \tag{11}$$

يمكن التعبير عن المعادلة (11) بصيغة عملية اكثر ملائمة اذا عرفنا درجة حرارة مميزة:

$$\theta_E = \frac{\hbar\omega}{K_R} = \frac{h\nu}{K_R} \tag{12}$$

واسميناها درجة حرارة اينشتاين سيكون لدينا:

$$C_V = 3NK_B \left(\frac{\theta_E}{T}\right)^2 \frac{e^{\theta_E/T}}{(e^{\theta_E/T} - 1)^2} \tag{13}$$

ولكى نناقش النتائج سوف نتحرى حالتين

 $T\gg heta_E$ او $T\gg heta_E$ او $T\gg heta_E$ المقام سيتم فكه وبذلك :

$$C_V = 3NK_B \left(\frac{\theta_E}{T}\right)^2 \frac{1}{\left(1 + \frac{\theta_E}{T} + \dots - 1\right)^2} = 3NK_B$$

: فان $N=N_A$ فان

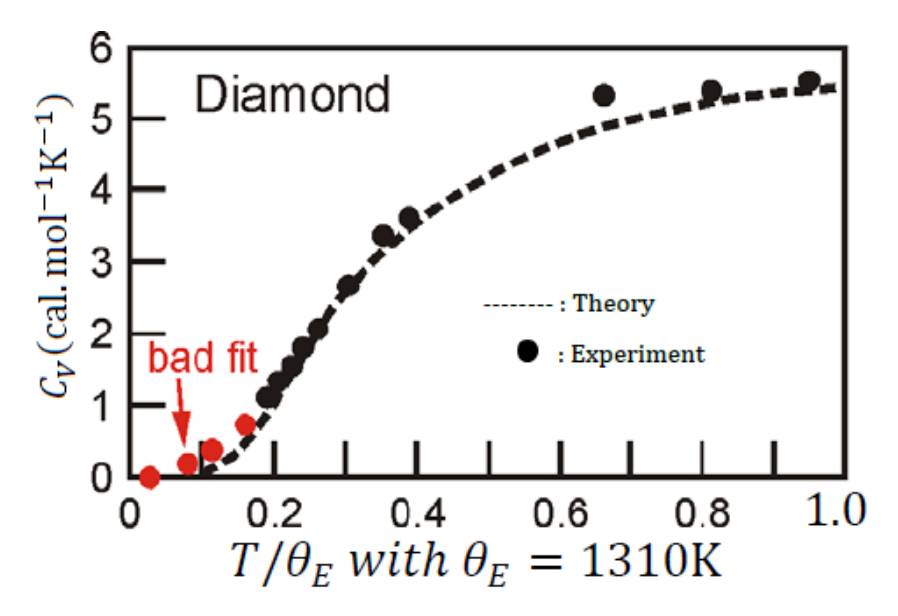
$$C_V = 3N_A K_B = 3R = 24.942 \, Jmol^{-1} K^{-1}$$

والذي يمثل قانون دولنك وبيتيت كما هو معطى بوساطة النظرية الكلاسيكية .

 $T \ll heta_E$ مسيكون الحد الاسي كبير جدا ويمكن اهمال الحد 1 ، سيكون الحد الاسي كبير جدا ويمكن اهمال الحد 1 في المقام وبذلك يكون لدينا :

$$C_V = 3NK_B \left(\frac{\theta_E}{T}\right)^2 e^{-\theta_E/T} \tag{14}$$

وبذلك نجد ان السعة الحرارية عند درجات الحرارة الواطئة تتناسب مع العامل الاسي المسيطر وتقترب السعة الحرارية من الصفر عندما $T \to 0$. يوضح الشكل (2) المقارنة بين القيم العملية (دوائر غامقة) بالنسبة للماس وتلك التي يعطينا اياها نموذج اينشتاين (الخط المتقطع) وباستعمال قيمة درجة حرارة اينشتاين مقدارها الماس وتلك التي يعطينا اياها نموذج اينشتاين مع القيم العملية بشكل جيد ولكن عند درجات الحرارة الواطئة جدا نرى ان منحني نموذج اينشتاين يهبط بسرعة اكبر من المسموح بواسطة القانون T^3 .



الشكل (2) مقارنة بين القيم العملية ونموذج انيشتاين للسعة الحرارية للماس

لقد وفر نموذج اينشتاين توضيحا افضل كثيرا بالنسبة لتغير السعة الحرارية مما وفرته النظرية الكلاسيكية فلقد وضحت قانون دولنك وبيتيت عند درجة حرارة الغرفة وكذلك وضح هبوط السعة الحرارية الى الصفر عندما $T \to 0$ ، ولكن لم يتبع هذا الهبوط قانون في منطقة درجة الحرارة الواطئة مثلما لوحظ عملياً T^3 . لقد كان تركيز اينشتاين في الواقع ينصب على تبيان تكميم المذبذبات الميكانيكية وليبرهن سبب هبوط السعة الحرارية للمواد الصلبة الى الصفر عندما $T \to 0$ ، لذلك يستخدم نموذج اينشتاين للحصول على نتائج تقريبة لجزء من طيف الفونون وخصوصاً مساهمة الفونونات البصرية .

يمكن تبرير تناقض نظرية اينشتاين مع المنحني العملي للتبريد المفرط في نموذجه الذي افترض ان المذبذبات الذرية تتذبذب بصورة مستقلة بالتردد نفسه وفي الحقيقة ان الاهتزازات الذرية ذات طبيعة معقدة فهي تتحرك تحت تأثير العديد من الذرات المهتزة الاخرى بحيث ان المذبذبات الذرية تقترن مع بعضها وان هنالك مدى من الترددات المحتملة بدلاً من تردد منفرد ω . لقد تناول ديباي Debye هذا الموضوع واخذه بنظر الاعتبار وحقق النجاح في تفسير قانون T^3 .

*ايجاد درجة حرارة اينشتاين : تعد درجة حرارة اينشتاين عاملا مميزا يستعمل في تعريف مدى درجة الحرارة الواطئة والعالية ، ويمكن حساب قيمتها بطريقتين : يمكن حساب قيمتها او لا من المعادلة (12) ($\theta_E = \frac{\hbar \omega}{\kappa_B} = \frac{\hbar v}{\kappa_B}$) (12) اذا كانت والعالية ، ويمكن حساب قيمتها بطريقة إلى الشبيكة ω معلومة . وتعطينا ديناميكية الشبيكة الشبيكة ω اذ ان ω يمكن ايجاده من ثوابت مرونة البلورة . والطريقة الثانية لحساب درجة حرارة اينشتاين تكون من خلال مطابقة البيانات العملية مع المنحنيات النظرية الى ω مقابل درجة الحرارة والمنحني الذي يعطي افضل تطابق مع البيانات العملية يحدد ω والمنحني الذي يعطي افضل تطابق مع البيانات العملية يحدد قيمة على المادة المطلوبة . ان قيم ω التي تم الحصول عليها بالطريقتين تتفق بشكل جيد عموما مع بعضها البعض مما يدعم نموذج اينشتاين .

نموذج ديباي The Debye model

لدراسة نموذج ديباي يكون ضروريا تناول مفهوم كثافة المستويات في فضاء متجه الموجة . L_z و L_y و L_z . density of states in k-space . ومن هنا فان حل معادلة الحركة للاهتزازات الميكانيكية يمكن كتابتها كما يلي :

$$u(x, y, z, t) = Ae^{i[\omega t - (k_x x + k_y y + k_z z)]}$$
(15)

وبتطبيق شروط الحد التي يجب على سعة اهتزاز البلورة اتباعها:

$$u(0, y, z, t) = u(L_x, y, z, t) u(x, 0, z, t) = u(x, L_y, z, t) u(x, y, 0, t) = u(x, y, L_z, t)$$
(16)

وباستعمال شرط الحد الاول في المعادلة (15) نحصل على :

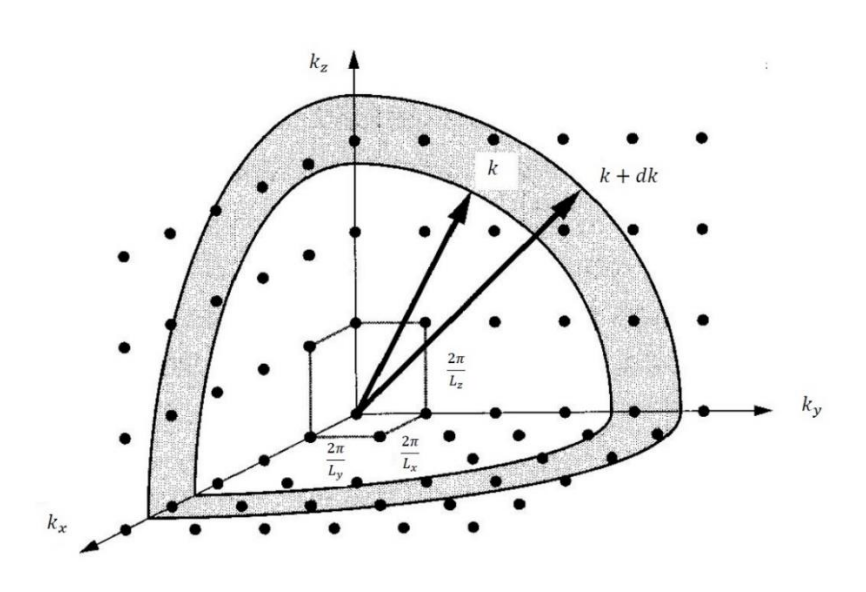
$$Ae^{i[\omega t - (k_y y + k_z z)]} = Ae^{i(k_x L_x + k_y y + k_z z)}$$
$$e^{-ik_x L_x} = 1$$

او :

$$k_x L_x = 2\pi n_x \quad \Rightarrow \quad k_x = \frac{2\pi n_x}{L_x}$$
 (17)

وبالطريقة نفسها باستعمال شرطى الحد الثاني والثالث في المعادلة (15) نحصل على :

$$k_y = \frac{2\pi n_y}{L_y}$$
 , $k_z = \frac{2\pi n_z}{L_z}$ (18)



الشكل (3) نقاط شبيكة في فضاء متجه الموجة

فيزياء الحالة الصلبة / المرحلة الرابعة

اذ ان n_x و n_y و n_z هي اعداد صحيحة موجبة او سالبة . ان كل مجموعة من القيم المسموحة (k_x,k_y,k_z) تعود لنقطة في فضاء متجه الموجة المتعامد كما موضح بالشكل ((x_x,k_y,k_z)) وتكون الانماط الاعتيادية المسموحة شبيكة متعامدة بالشكل الذي تكون فيها ابعاد خلية الوحدة unit cell هي :

$$\frac{2\pi}{L_x}$$
, $\frac{2\pi}{L_y}$, $\frac{2\pi}{L_z}$

حجم خلية الوحدة لنمط اعتيادي منفرد من النظام هو:

$$\frac{8\pi^3}{L_x L_y L_z} = \frac{8\pi^3}{V}$$

اذ ان يمثل حجم البلورة . وتظم كل خلية وحدة بالمتوسط نقطة واحدة فقط ، اي قيمة مسموحة واحدة من k .

اذا كانت ابعاد البلورة L_x و L_y كبيرة بما فيه الكفاية لصنع خلية وحدة صغيرة جدا فان النقاط في فضاء متجه الموجة ستتجمع الى بعضها بشكل متقارب للغاية وفي هذه الحالة يمكن حساب عدد الانماط الاعتيادية D(k)dk في المدى k+dk و k+dk من خلال ايجاد حجم القشرة الكروية المحصورة بين الكرة التي نصف قطر ها k وكرة اخرى نصف قطر ها k+dk . $k^2=k_x^2+k_y^2+k_z^2$ حيث $4\pi k^2 dk$ حيث k+dk . $k^2=k_x^2+k_y^2+k_z^2$

وبذلك بكون عدد الانماط الاعتبادية المسموحة:

$$D(k)dk = \frac{Volume\ of\ shell}{Volume\ of\ unit\ cell} = \frac{4\pi k^2 dk}{8\pi^3/V} = \frac{Vk^2}{2\pi^2}dk \tag{19}$$

يفترض نموذج ديباي في حساب الحرارة النوعية للمواد الصلبة الافتراضات التالية:

- 1. تسلك الشبيكة البلورية ذات N من الذرات كنظام مكون من 3N من المذبذبات التوافقية المكماة وتكون اهتزازاتها مقتر نة بشدة .
- ω_D هي عظمي عند قيمة عظمي عند و بسبب اقتران الاهتزازات يكون هنالك مدى طويل متصل من الترددات تنتهي عند قيمة عظمي هي ω_D (تردد ديباي) .
 - ω_D نفسه للامواج الطولية والامواج المستعرضة .
- ω بحيث يعطي عدد انماط المذبذبات في الفترة $D(\omega)$ بحيث يعطي عدد انماط المذبذبات في الفترة $D(\omega)d\omega$. $D(\omega)d\omega$
 - 5. ان العدد الكلي للانماط الاعتيادية التي لها تردد اقل من ω_D تكون مساوية الى 3N ، اي ان :

$$\int_0^{\omega_D} D(\omega) d\omega = 3N$$

جدير بالملاحظة ان الفرضية 4 تمثل الهيئة الوحيدة التي تكوّن الشكل البلوري او تكوّن حالة المادة الصلبة نظرياً وبغير ذلك تعامل البلورة على انها وسط متجانس متصل (الاستمرارية). ويصبح الطول الموجي ، بالنسبة للترددات التي

فيزياء الحالة الصلبة / المرحلة الرابعة

هي اكبر من تردد ديباي ، صغيرا جدا بحيث يكون $\lambda=2a$ (تمثل a المسافة البينية بين الذرات) وبذلك سوف لايكون هنالك تقدم للموجة خلال البلورة . ومن هنا فان نموذج ديباي اقتصر فقط على الاطوال الموجية الطويلة في النمط الصوتي التي يكون فيه التردد اقل او مساوي لتردد ديباي $\omega\leq\omega_D$.

ولما كانت الحركة الاهتزازية يمكن تصورها كتراكب انماط اعتيادية مستقلة يكون من المناسب العمل مع انماط اهتزاز اعتيادية للنظام وسنفرض ان مستويات الطاقة المسموحة تعطى بالعلاقة (8) اي:

$$E_n = \left(n + \frac{1}{2}\right)\hbar\omega$$

وانها توزعت بالطاقة تبعاً لقانون توزيع ماكسويل بولتزمان . ان متوسط طاقتها يعطى بالعلاقة (9) اي :

$$\bar{E} = \frac{\hbar\omega}{2} + \frac{\hbar\omega}{e^{\hbar\omega/K_BT} - 1}$$

ويعبر $\omega + d\omega$ و $\omega + d\omega$ عن المساهمة التي تقدمها هذه الانماط للطاقة الداخلية للبلورة في فترة التردد كما يلي :

$$dE = \bar{E}(\omega)D(\omega)d\omega \tag{20}$$

وتعطى الطاقة الكلية للبلورة بالمعادلة التالية:

$$E = \int_0^{\omega_D} \bar{E}(\omega) D(\omega) d\omega \tag{21}$$

ولكي نحصل على طيف التردد اقترح ديباي استخدام العلاقة:

$$\omega = v_o k$$

اذ ان v_o تمثل سرعة الطور لاهتزازات شبيكة البلورة المرنة . وبتعويض :

$$k = \frac{\omega}{v_o} \qquad , dk = \frac{d\omega}{v_o}$$

 $d\omega$ غي المعادلة (19) سنحصل على عدد الانماط الاهتزاز في البلورة التي حجمها V في فترة التردد

$$D(\omega)d\omega = \frac{V}{2\pi^2} \left(\frac{\omega}{v_o}\right)^2 \frac{d\omega}{v_o}$$

او :

$$D(\omega)d\omega = \frac{V}{2\pi^2} \frac{1}{v_o^3} \omega^2 d\omega \tag{22}$$

هنالك في الواقع ثلاثة انماط طبيعية مستقلة لكل تردد مسموح : نمط طولي واحد تكون له $v_o=v_L$ ونمطين مستعرضة لهما $v_o=v_L$. لذلك نكتب المعادلة (22) كما يلي :

فيزياء الحالة الصلبة / المرحلة الرابعة

$$D(\omega)d\omega = \frac{V}{2\pi^2} \left(\frac{1}{v_L^3} + \frac{2}{v_T^3}\right) \omega^2 d\omega \tag{23}$$

وبتعويض المعادلات (9) و (23) في المعادلة (21) نحصل على :

$$E = \frac{V}{2\pi^2} \left(\frac{1}{v_L^3} + \frac{2}{v_T^3} \right) \int_0^{\omega_D} \left(\frac{\hbar\omega}{2} + \frac{\hbar\omega}{e^{\hbar\omega/K_BT} - 1} \right) \omega^2 d\omega \tag{24}$$

وفي شرط تردد القطع للفرضية (5) لنموذج ديباي نعوض عن $D(\omega)d\omega$ من المعادلة (5) لنحصل على :

$$\frac{V}{2\pi^2} \left(\frac{1}{v_L^3} + \frac{2}{v_T^3} \right) \int_0^{\omega_D} \omega^2 d\omega = 3N$$

او

$$\frac{V}{2\pi^2} \left(\frac{1}{v_I^3} + \frac{2}{v_T^3} \right) = \frac{9N}{\omega_D^3} \tag{25}$$

وبتعويض المعادلة (25) في المعادلة (24) نحصل على :

$$E = \frac{9N}{\omega_D^3} \int_0^{\omega_D} \left(\frac{\hbar \omega}{2} + \frac{\hbar \omega}{e^{\hbar \omega/K_B T} - 1} \right) \omega^2 d\omega$$

$$E = \frac{9N\hbar\omega_D}{8} + \frac{9N}{\omega_D^3} \int_0^{\omega_D} \left(\frac{\hbar\omega^3}{e^{\hbar\omega/K_BT} - 1}\right) d\omega \tag{26}$$

وبصيغة افضل لهذه العلاقة نجعلها:

$$\frac{\hbar\omega}{K_BT} = x$$

بحيث ان:

$$dx = \frac{\hbar}{K_B T} d\omega$$

و

$$\frac{\hbar\omega_D}{K_BT} = x_D = \frac{\theta_D}{T}$$
 where $\theta_D = \frac{\hbar\omega_D}{K_B}$

ويسمى المعامل θ_D درجة حرارة ديباي وهي درجة حرارة خاصة وتعمل بالطريقة نفسها التي تعمل بها θ_E في نموذج انيشتاين . لا تعتمد θ_D عمليا على درجة الحرارة رغم حصول تغير طفيف بدرجة الحرارة بسبب تغير الحجم V وسرعة الطور v_o .

وباخذ المشتقة للمعادلة (26) بالنسبة الى T واستعمال المعادلة $dx=rac{\hbar}{K_BT}d\omega$ يمكن كتابة السعة الحرارية كما يلي :

$$C_V = \frac{9N}{\omega_D^3} \int_0^{\omega_D} \left[\frac{d}{dT} \left(\frac{\hbar \omega^3}{e^{\hbar \omega/K_B T} - 1} \right) \right] d\omega$$

$$C_V = \frac{9N\hbar^2}{\omega_D^3 K_B T^2} \int_0^{\omega_D} \frac{\omega^4 e^{\hbar \omega/K_B T}}{(e^{\hbar \omega/K_B T} - 1)^2} d\omega$$

$$C_V = 9NK_B \left(\frac{T}{\theta_D}\right)^3 \int_0^{\theta_D/T} \frac{x^4 e^x}{(e^x - 1)^2} dx$$

 $N = N_A$ ولكى نحصل على الحرارة النوعية المولارية نعوض

: بذلك $NK_B = N_A K_B = R$ بذلك

$$C_V = 9R \left(\frac{T}{\theta_D}\right)^3 \int_0^{\theta_D/T} \frac{x^4 e^x}{(e^x - 1)^2} dx$$
 (27)

$$C_V = 3RF_D\left(\frac{\theta_D}{T}\right) \tag{28}$$

اذ ان :

$$F_D\left(\frac{\theta_D}{T}\right) = 3\left(\frac{T}{\theta_D}\right)^3 \int_0^{\theta_D/T} \frac{x^4 e^x}{(e^x - 1)^2} dx \tag{29}$$

وتسمى دالة ديباي او تكامل ديباي ويمكن اثباتها عددياً . سوف نناقش حالتين :

1 عند درجات الحرارة العالية $\theta_D \gg T \gg 0$ و $T \gg 0$ في البسط ويمكن فكه في المقام $e^x \to 1$ عند درجات الحرارة العالية ويمكن فكه في المقام بحيث تصبح دالة ديباي :

$$F_{D}\left(\frac{\theta_{D}}{T}\right) = 3\left(\frac{T}{\theta_{D}}\right)^{3} \int_{0}^{\theta_{D}/T} \frac{x^{4}}{(1+x+\dots-1)^{2}} dx = 3\left(\frac{T}{\theta_{D}}\right)^{3} \cdot \frac{1}{3}\left(\frac{\theta_{D}}{T}\right)^{3} = 1$$

وبذلك من المعادلة (28) يكون لدينا السعة الحرارية :

$$C_V = 3RF_D\left(\frac{\theta_D}{T}\right) = 3R = 24.942 \, Jmol^{-1}K^{-1}$$

والتي تمثل قانون دولنك وبيتيت (قيمة التجزئة الكلاسيكية للطاقة). وهذه القيمة لا تعتمد على فرضية كثافة الطاقة وتعتمد فقط على فرضية القوى التوافقية وان هذه النتيجة تعني انه عند درجة الحرارة العالية تكون الطاقة الحرارية كافية لاثارة كل انماط الاهتزاز 3N بغض النظر عن تردداتها وبذلك تقترب الحالة الفيزيائية مع نموذج اينشتاين.

z — عند درجات الحرارة الواطئة $T \ll \theta_D$ وتكون z كبيرة . يمكن استبدال الحد العلوي لتكامل المعادلة (29) باللانهاية وسوف لن يحدد ذلك اي خطأ لانه عند درجات الحرارة هذه لن يثار اي من الانماط القريبة او التي بعد تردد ديباي . وبحل تكامل ديباي بالتجزئة يكون لدينا :

$$F_D\left(\frac{\theta_D}{T}\right) = 3\left(\frac{T}{\theta_D}\right)^3 \left[x^4 \left| \left(\frac{-1}{e^x - 1}\right) \right|_0^\infty - \int_0^\infty \frac{-1}{e^x - 1} 4x^3 dx\right]$$

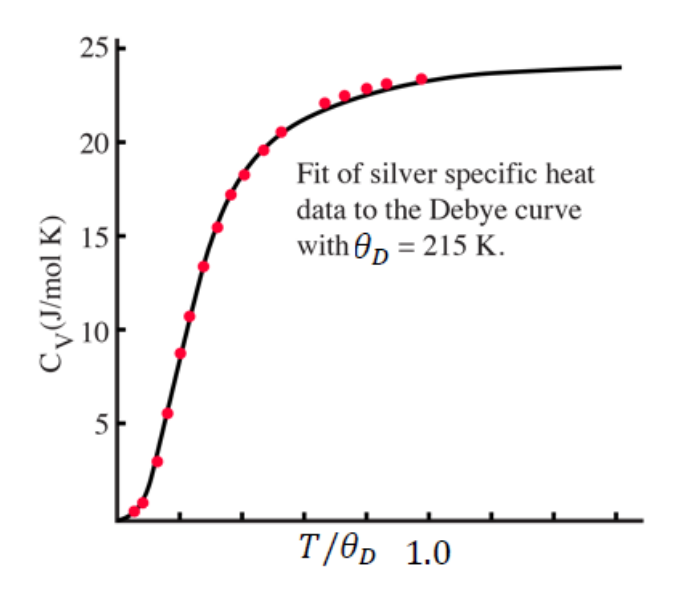
$$F_D\left(\frac{\theta_D}{T}\right) = 12\left(\frac{T}{\theta_D}\right)^3 \left[\int_0^\infty \frac{x^3}{e^x - 1} dx\right] \tag{30}$$

ومن جداول الرياضيات نجد ان التكامل في المعادلة اعلاه يساوي $\frac{\pi^4}{15}$ وبذلك سنحصل على الحرارة النوعية من المعادلات (30) و (30) لتكون :

$$C_V = 3RF_D \times 12 \left(\frac{T}{\theta_D}\right)^3 \times \frac{\pi^4}{15} = \frac{12}{5} \pi^4 R \left(\frac{T}{\theta_D}\right)^3 \tag{31}$$

وهذا هو قانون ديباي الشهير .

يوضح الشكل (4) مقارنة بين البيانات العملية (نقاط حمراء) والنتيجة النظرية (الخط المتصل) للمعادلة (27) باستعمال درجة حرارة ديباي $\theta_D = 215 K$ ونلاحظ الاتفاق الرائع بينهما .



الشكل (4) مقارنة بين البيانات العملية (نقاط حمراء) والنتيجة النظرية (الخط المتصل) لعلاقة نموذج ديباي تكون درجة الحرارة بالنسبة لشبيكة واقعية الذي يتحقق عندها قانون T^3 واطئة جدا تقريبا . ربما تكون درجة الحرارة حت تحت $T=\frac{\theta_D}{50}$

تعد نظرية ديباي نجاحا عظيما ولكن القياسات الدقيقة في منطقة درجة الحرارة الواطئة اوضحت انحرافا معينا عن التنبؤات النظرية فتبعا للنظرية يجب ان يتحقق قانون T^3 في درجة حرارة $\frac{\theta_D}{10} \geq T$ ولكن لا تكون هذه هي الحالة دائماً . وفضلا عن ذلك و على خلاف التوقعات النظرية فأن قيم $\frac{\theta_D}{10}$ المحسوبة عند درجات حرارة مختلفة من بيانات السعة

الحرارية الملاحظة لا تكون ثابتة . ان هذه التناقضات تكون بسبب نقائض تقريب الاستمرارية المستعمل في النظرية ، فعلى سبيل المثال لا الحصر فرض نموذج الاستمرارية ليكون صحيحا للاطوال الموجية الطويلة . اي ان الاطوال الموجية القصيرة لا تثار بالمواد الصلبة . فرض ديباي ان :

$$\int_0^{\omega_D} D(\omega) d\omega = 3N$$

ولكن في استمرارية مرنة لايمكن ان يبقى عدد الترددات محدد بـ 3N ، فيجب ان يصل العدد اللانهائي للترددات . لقد اهملت الطبيعة البلورية للمادة الصلبة واخذ التردد ليكون نفسه للامواج الطولية والمستعرضة والتي يجب ان تكون مختلفة بالنسبة للامواج ذات الطبيعة المختلفة .

*ایجاد درجة حرارة دیباي:

يمكن حساب قيمة تردد ديباي من المعادلة (25) وبالتالي حساب درجة حرارة ديباي من العلاقة $\frac{\hbar \omega_D}{K_B}=\frac{\hbar \omega_D}{K_B}$ شرط معرفة متوسط القيمة المناسبة لسرع الصوت . ولحسن الحظ ان سرع قيم الصوت كهذه تم ايجادها عمليا بواسطة بلاكمان . Blackmann . والطريقة الاخرى لايجاد θ_D تكون باختيار قيمة θ_D التي عند استعمالها في المعادلة (27) تعطي افضل تطابق مع البيانات العملية العائدة لها . يكون مدى θ_D لمعظم المعادن يقع بالمدى 450 .

التمدد الحراري Thermal Expansion

ينتج التمدد الحراري في المواد الصلبة من تغير إزاحات الذرات عن مواضع الاتزان مع ارتفاع درجة الحرارة .تتوقف الازاحات على العديد من الاعتبارات منها تأثير الحدود اللاتوافقية في طاقة وضع الذرات .بفرض أن إزاحة زوج من الذرات عند درجة حرارة T عن مسافات الاتزان عند الصفر المطلق هي x . تكون طاقة الوضع كما يلي :

$$U(x) = cx^2 - gx^3 - fx^4 (32)$$

حيث يمثل الحد الاول في المعادلة (32) تأثير الاهتزازات التوافقية ويمثل الحد الثاني تأثير عدم تماثل قوى التنافر المتبادلة بين الذرات ويمثل الحد الأخير تأثير الاسترخاء العام بالاهتزاز عند السعات الكبيرة يمكن حساب متوسط الإزاحة بستخدام إحصاء ماكسويل، حيث تزن دالة التوزيع القيم الممكنة للإزاحة طبقا للاحتمال الثرموديناميكي للنظام، أي أن متوسط الإزاحة يكون كما يلي:

$$\bar{x} = \int_{-\infty}^{+\infty} x e^{-U(x)/K_B T} dx / \int_{-\infty}^{+\infty} e^{-U(x)/K_B T} dx$$
 (33)

عندما تكون الإزاحة χ صغيرة ، أي أن الطاقة اللاتوافقية منخفضة نعين كل من البسط والمقام في المعادلة السابقة و بايجاد مفكوك الكميات المراد تكاملها على النحو التالى :

$$e^{-U(x)/K_BT} = e^{-(cx^2+gx^3+fx^4)/K_BT} = e^{-cx^2/K_BT}e^{(gx^3+fx^4)/K_BT}$$

$$e^{-U(x)/K_BT} = e^{-cx^2/K_BT} \left(1 + \frac{gx^3 + fx^4}{K_BT} \right)$$
 (34)

وباهمال الحدود العالية في القوس وتعويض المعادلة (34) في المعادلة (3) واهمال الحدود اللاتوافقية في المقام يكون لدينا :

$$\bar{x} = \int_{-\infty}^{+\infty} e^{-cx^2/K_B T} \left(x + \frac{gx^4 + fx^5}{K_B T} \right) dx / \int_{-\infty}^{+\infty} e^{-cx^2/K_B T} dx$$

ان الدوال في الحد الاول والاخير بالبسط هي دوال شاذة الى x وان $F_{odd}(x)$ وبذلك تكون قيمها صفر . ونستخدم بالنسبة للحد الثاني النتيجة القياسية :

$$\int_{-\infty}^{+\infty} u^4 e^{-au^2} du = \frac{3}{4} \left(\frac{\pi}{a^5}\right)^{1/2}$$

وفي حالة المقام نستعمل النتيجة القياسية

$$\int_{-\infty}^{+\infty} e^{-au^2} du = \left(\frac{\pi}{a}\right)^{1/2}$$

وبذلك نحصل على:

$$\bar{x} = \frac{0 + \frac{g}{K_B T} \frac{3}{4} \left(\frac{\pi}{(c/K_B T)^5}\right)^{1/2} + 0}{\left(\frac{\pi}{c/K_B T}\right)^{1/2}} = \frac{3g(K_B T)^2}{4K_B T c^2} = \frac{3gK_B T}{4c^2}$$
(35)

ويمكن بعد ذلك حساب معامل التمدد الحراري:

$$\delta = \frac{d\bar{x}}{dT} = \frac{3gK_B}{4c^2} \tag{36}$$

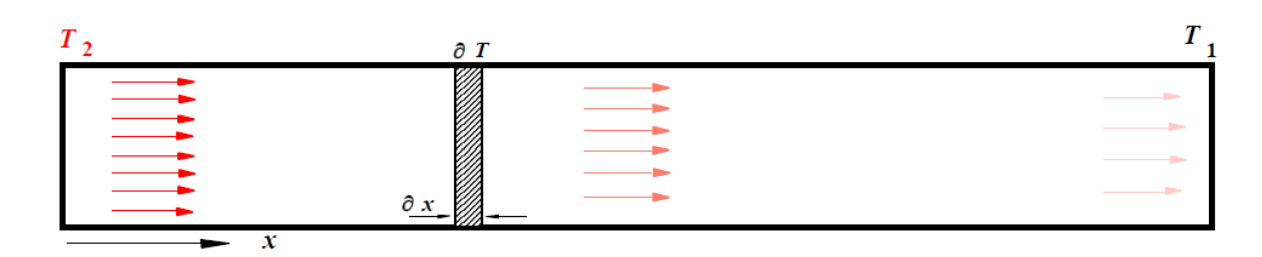
اذا تواجدت التوافقية فقط يصبح معامل اللاتوافقية g=0 ويكون التمدد الحراري صفر وتهتز الذرات توافقيا اعطت الصورة الكلاسيكية للاهتزازات الذرية الموصوفة اعلاه قيم معامل تمدد حراري تتفق بشكل ممتاز مع النتائج العملية لمعظم المواد الصلبة في مدى درجة حرارة الغرفة ولكنها اخفقت عند درجات الحرارة الواطئة ففي الواقع لا يبقى معامل التمدد الحراري للمواد الصلبة ثابتاً كما اعطي في المعادلة (36) ولكنها تنقص عند انخفاض درجة الحرارة وتقترب من الصفر عندما T=0.

التوصيلية الحرارية للشبكية

تنتقل الحرارة في الجسم الصلب بواسطة موجات الشبيكة البلورية (الفونونات) . عندما تكون نهايتي الجسم الصلب في درجة درارة مختلفة (T_2 و T_1) فإن الطاقة الحرارية تنتقل من النهاية الأعلى درجة حرارة إلى النهاية الأقل درجة حرارة ، كما هو مبين بالشكل (t_1) ، حيث تم تمثيل الفونونات بالأسهم . تبين المشاهدات أن كثافة التيار الحراري (معدل تدفق الطاقة الحرارية عبر وحدة مساحة المقطع) تتناسب طرديا مع الميل الحراري .بغرض أن طرفي العينة عند درجات الحرارة t_1 ح t_2 وأن العينة موضوعة على امتداد المحور السيني فإن درجة الحرارة تتخفض كلما ابتعدنا عن الطرف الأعلى درجة حرارة ويعرف الميل الحرارى بأنه التغير في درجة الحرارة المقابل للتغير في المسافة t_1 ويمكن كتابة كثافة التيار الحراري بالعلاقة :

فيزياء الحالة الصلبة / المرحلة الرابعة

$$J = -K_l \frac{\partial \mathbf{T}}{\partial x} \tag{37}$$



شكل (5) مخطط توضيحي لانتقال الحرارة بواسطة موجات الشبيكة.

. يعرف ثابت التناسب K_l بالتوصيلية الحرارية $(Wm^{-1}K^{-1})$ ويعتبر مقياسا لإمكانية انتقال الحرارة عبر القضيب . تكون $\frac{\partial T}{\partial x}$ ، تكون K_l كمية موجبة وتأتى الإشارة السالبة في المعادلة السابقة من الميل الحراري ، $\frac{\partial T}{\partial x}$.

يمكن أن تنتقل الحرارة في المواد بالعديد من الوسائل المستقلة، ففي المعادن، على سبيل المثال، تحمل الحرارة بواسطة كل من الإلكترونات وموجات الشبيكة (الفونونات) ، بالرغم من أن المشاركة الإلكترونية تكون أكبر بكثير . على الجانب الأخر، تنتقل الحرارة في المواد العازلة بالكامل بواسطة الفونونات حيث لا توجد الكترونات حرة في المادة .في هذا الفصل سوف نأخذ في الإعتبار فقط الانتقال بواسطة الفونونات .

عندما نناقش انتقال الحرارة بواسطة الفونونات فإنه من المناسب تصور أن هذه الفونونات تكون على شكل غاز من الفونونات عندما نناقش انتقال الحرارة بواسطة الفونونات فإنه من الفراغ فونونات تنتشر في جميع الاتجاهات تماما مثل جزيئات الغاز . (في الحقيقة يمكن تخيل عملية التوصيل على النحو التالي يما أن نهاية القضيب اليسرى في درجة حرارة أعلى فإن الذرات في هذه المنطقة تتحرك بشكل أكثر عنفا من تلك الموجودة عند الطرف الأيمن . وهكذا فإن كثافة الفونونات تكون أعلى عند الطرف الأيسر وحيث أن الغاز الفونوني متجانس، فإن الفونونات تتدفق من الطرف الأيسر إلى الطرف الأيمن حاملة معها الطاقة الحرارية .) يتميز نموذج الغاز الفونوني بأنه يمكن تطبيقه في العديد من المفاهيم المألوفة للنظرية الحركية للغازات على وجه الخصوص، تعطى التوصيلية الحرارية بالعلاقة :

$$K_l = \frac{1}{3}c_V vl \tag{38}$$

حيث c_V السعة الحرارية عند حجم ثابت لكل وحدة حجم و v سرعة الجسيم و l طول مساره الحر . في الحالة الراهنة ، فإن v و l بالطبع تشير إلى سرعة وطول مسار الفونون ، على الترتيب .

سنفحص الآن اعتماد التوصيلية الحرارية على درجة الحرارة من خلال المعادلة (38) أو لا ، لقد تم دراسة اعتماد الحرارة النوعية C_V على درجة الحرارة بالتفصيل ، بينما وجد أن سرعة الفونون v غير حساسة أساساً لدرجة الحرارة ، ويعتمد طول المسار الحر للفونون v بشكل قوى على درجة الحرارة ، كما سوف نبين فيما يلى :

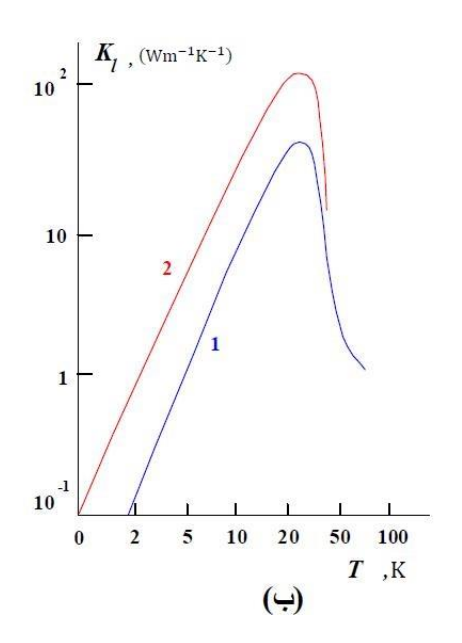
بالمثل، كما في حالة النظرية الحركية للغازات، فإن l هو متوسط المسافة التي يسافرها الفونون بين تصادمين متتاليين (المسار الحر) . ولهذا فإن l يتعين بواسطة عمليات التصادم التي تؤثر في الصلب يمكن تصنيف ثلاث آليات مهمة :

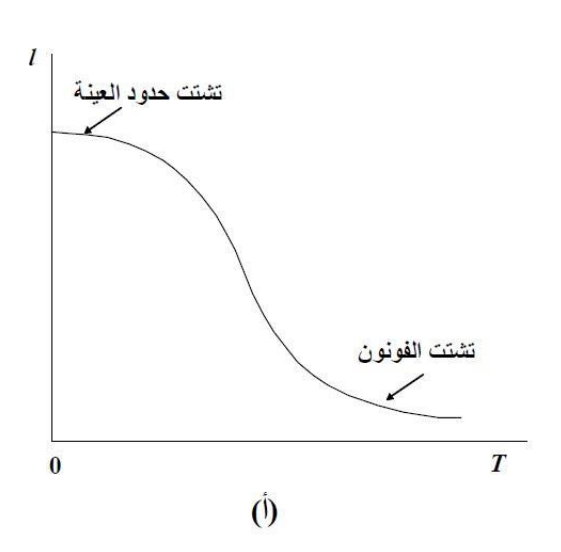
(أ) تصادم الفونون مع الفونونات الأخرى ، (ب) تصادم الفونون مع العيوب البنائية في البلورة ، و(ج) تصادم الفونون مع الحدود الخارجية للعينة .

نعتبر أو V^3 ، تصادم الفونون مع الفونونات الأخرى . عندما يرى فونون فونونا أخر في البلورة يتبعثر (يتفرق) كل منهما نتيجة التفاعل اللاتوافقي فيما بينهما . في معالجتنا حتى الآن ، اعتبرنا أن الفونونات مستقلة بعضها عن بعض اعتمادا على النموذج التوافقي . على أية حال ، يصبح هذا التقريب ناقصا عندما تصبح الازاحات الذرية كبيرة والتي تسبب الازدواج اللاتوافقي بين الفونونات والذي بدوره يسبب تشتتها المتبادل يترتب على ذلك أن يصبح تصادم الفونون – فونون ذات أهمية خاصة عند درجة الحرارة العالية والتي عندها تكون الازاحات الذرية كبيرة . في هذا المدى من درجات الحرارة ، يتناسب متوسط المسار الحر المقابل عكسيا مع درجة الحرارة ، أي أن $\frac{1}{T} \gg 1$ ، و هذا الاستنتاج منطقي لانه عند درجة الحرارة الأعلى يكون عدد الفونونات المشاركة في التصادم أكبر . أيضًا، تقوم العيوب البلورية (مثل الشوائب والعيوب النقطية) بتشتت الفونونات الأن هذه العيوب تدمر الدورية التامة للبلورة التي توجد في أساس مفهوم الانتشار الحر لموجات الشبيكة . على سبيل المثال ، للعيب النقطي التعويضي (الذرة التعويضية) كتلة مختلفة عن كتلة الذرة المضيفة وتسبب تشتت للموجة عندها . وكلما زاد الفرق في الكتلة بين الذرة التعويضية والذرة المضيفة وكلما زادت كثافة العيوب يكون التشتت أكبر ويكون المسار الحر أقصر.

عند درجات الحرارة المنخفضة (اقل من 10K مثلا) يصبح تصادم الفونون مع الفونون و تصادم الفونون مع عيوب البناء غير فعال وذلك بسبب أنه في الحالة الأولى يوجد عدد قليل فقط من الفونونات ، وفي الحالة الثانية يوجد عدد قليل فقط من الفونونات التي تثار عند هذا المدى من درجات الحرارة المنخفضة (وهي الفونونات الطويلة) . لا تتشتت هذه الفونونات بشكل فعال بواسطة العيوب خاصة عندما يكون لها حجم اصغر بكثير من الطول الموجى . (من المعروف من الفيزياء الموجية أن شدة تشتت الموجة بواسطة الجسم تعتمد على نسبة نصف قطر الجسم إلى الطول الموجى وكلما كانت هذه النسبة صغيرة كلما كان التشتت اضعف .) في مدى درجات الحرارة المنخفضة تكون آلية التشتت الرئيسية هي حدود العينة الخارجية ، والتي تؤدى إلى ما يسمى بالتأثيرات الحجمية أو الهندسية والتي تصبح مؤثرة لان الطول الموجى للفونونات المثارة يكون طويلا جدا مقارنة مع حجم العينة . هنا يكون $D \approx 1$ حيث D تساوي تقريبا نصف قطر العينة ولهذا لا تعتمد على درجة الحرارة . و هكذا ، يكون السلوك العام لمتوسط المسار الحر كدالة في درجة الحرارة كما هو مبين في الشكل (D - 1) .

عند درجة الحرارة المنخفضة ، يكون متوسط المسار الحر l مقدارا ثابت D بينما يتناقص l عند درجة الحرارة العالية ويتناسب مع $\frac{1}{T}$.



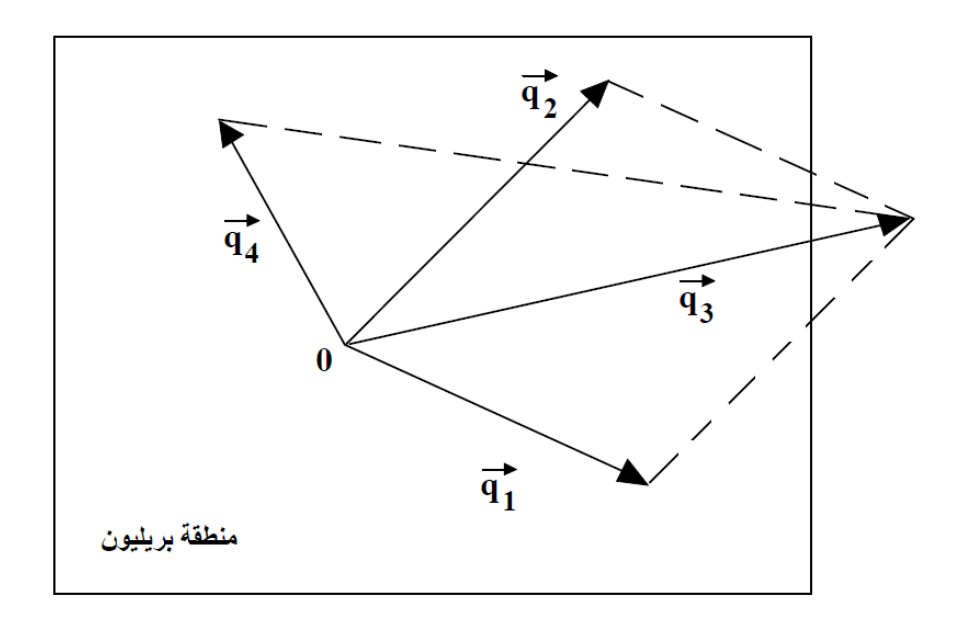


شكل (6) (أ) تغير متوسط المسار الحر للفونون مع درجة الحرارة . (ب) اعتماد التوصيلية الحرارية على درجة الحرارة لمساحات مقطع مختلفة للقضيب .

في مناقشتنا السابقة ، بررنا نقطة مهمة ولكنها غير ملحوظة وسنوضحها فيما يلي :

بفرض أن فونون له المتجه $\overline{q_1}$ تصادم مع فونون أخر له المتجه $\overline{q_2}$ و نتج عن التصادم فونونا ثالثا له المتجه $\overline{q_3}$. من مبدأ حفظ كمية التحرك نحصل على $\overline{q_3} = \overline{q_1} + \overline{q_2} = \overline{q_1}$. وبالرغم أن كل من $\overline{q_2}$ و $\overline{q_2}$ يقعا داخل منطقة بريليون فإن $\overline{q_3}$ ربما لا يكون كذلك . وإن كان الأمر كذلك، فإن كمية تحرك النظام بعد التصادم تكون مثلها قبل التصادم و لا يكون لمثل هذه العملية تأثير بالمرة على المقاومة الحرارية، كما لا يكون لها تأثير على تدفق فونونات النظام ككل وتسمى هذا بالعملية الطبيعية . (يمكن تفسير هذه العملية على النحو التالي نعلم أن المقاومة الحرارية عبارة عن مقلوب التوصيل الحراري ، وما نذكره هنا هو أن العملية الطبيعية تحفظ كمية التحرك وبالتالي لا تشارك المقاومة ، بمعنى إذا كانت العملية الطبيعية هي العملية الوحيدة التي تحدث فإن المقاومة ستكون صفرا ويكون التوصيل مالا نهاية . و هكذا فإن المقاومة تكون ناتجة عن عمليات التصادم الأخرى) .

على النقيض ، إذا وقع المتجه \overline{q}_3 خارج منطقة بريليون ، فإن عامل جديد شيق يدخل الصورة كما في الشكل (\overline{q}_3) . وحيث أن هذا المتجه ليس له معنى فيزيائي طبقا للتقليد فإننا نحوله إلى متجه مكافئ \overline{q}_4 يقع في منطقة بريليون الأولى ، حيث أن هذا المتجه ليس له معنى فيزيائي طبقا للتقليد فإننا نحوله إلى متجه الفونون الفعال \overline{q}_4 الناتج عن التصادم يسافر في اتجاه غالبا يكون عكس كل من الفونونات الأصلية \overline{q}_1 و \overline{q}_2 (ينتقل الفرق في كمية التحرك إلى مركز كتلة الشبيكة .) تكون مثل هذه العملية فعالة جدا في تغيير كمية حركة الفونون وتكون هي المسؤولة عن متوسط المسار الحر عند درجات الحرارة العالية .تعرف هذه العملية بعملية أمكلاب (عن اللغة الألمانية بمعنى التقليب ، flipping over) .



شكل (7) عملية أمكلاب

مما سبق يتضح أن عملية أمكلاب يمكن أن تكون فعالة فقط عند درجة الحرارة العالية ، حيث يكون الكثير من الفونونات القريبة من حدود منطقة بريليون مثارة .

يمكن استنتاج تعبير للتوصيلية الحرارية كدالة صريحة في درجة الحرارة وذلك بتطبيق العلاقة (38) على الغاز الفونوني والتعويض عن الحرارة النوعية للبلورة (الغاز الفونوني) وعن سرعة الجسيمات بسرعة الصوت v_s وعن طول المسار الحر .

بمعرفة مساحة مقطع التشتت للفونونات يمكن حساب متوسط المسار الحر على النحو التالي:

$$l \propto \frac{1}{n_{ph}g^2}$$

حيث n_{ph} عدد الفونونات لوحدة الحجم و g معامل اللاتوافقية لأنماط الاهتزاز ويتناسب مع مساحة مقطع التفاعل . وبالتعويض من المعادلة اعلاه في المعادلة (g38) نحصل على :

$$K_l \propto \frac{c_V v_s}{n_{nh} g^2} \tag{39}$$

: في مدى درجات الحرارة العالية نجد أن $n_{nh} \propto T$ وبالتالي نجد أن

$$K_l \propto \frac{c_V v_S}{Tg^2} \tag{40}$$

يتضح من العلاقة السابقة أن التوصيلية الحرارية في مدى درجات الحرارة العالية تتناسب عكسيا مع درجة الحرارة حيث أن c_V لاتعتمد عمليا على درجة الحرارة. تتفق النتيجة السابقة مع النتائج العملية . تتضمن المعادلة (40) على معامل اللاتوافقية

فيزياء الحالة الصلبة / المرحلة الرابعة

الفصل الرابع / الخواص الحرارية

وسرعة الصوت وكلاهما يعتمدان على قوة الروابطبين ذرات الجسم الصلب ، حيث تناظر الروابط الضعيفة معامل لاتوافقية عالي وسرعة منخفضة ، إذ أن إضعاف الروابط يؤدى إلى زيادة سعة الاهتزازات الحرارية وبالتالي إلى زيادة اللاتوافقية وتؤدى كل هذه العوامل إلى تناقص قيمة التوصيلية الحرارية وهذا يتفق من المشاهدات العملية .